

12. Kuznetsov V. V., Nakoryakov V. E., Pokusaev B. G., Shreiber I. R. Propagation of perturbations in a gas liquid mixture.— «J. Fluid mech.», 1978, vol. 85.  
 13. Накоряков В. Е., Покусаев Б. Г., Шрейбер И. Р., Кузнецов В. В., Малых Н. В. Экспериментальное исследование ударных волн в жидкости с пузырьками газа.— В кн.: Волновые процессы в двухфазных системах. Под ред. С. С. Кутателадзе. Новосибирск, изд. Ин-та теплофизики СО АН СССР, 1975.

УДК 539.3

## ВЗАИМОДЕЙСТВИЕ УДАРНЫХ ВОЛН В УПРУГОИЛАСТИЧЕСКОЙ СРЕДЕ С УПРОЧНЕНИЕМ

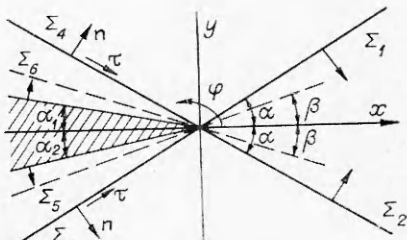
*B. A. Баскаков*

(Воронеж)

Изучаются закономерности и характер деформирования упругопластичного материала после прохождения в нем ударных волн, вызванных довольно интенсивными источниками возмущений. На достаточно далеком расстоянии от источников фронты волн в окрестности точки их взаимодействия можно считать плоскими. Модель среды предполагает учет механизмов упрочнения [1]: кинематического и изотропного. С использованием аппарата теории разрывов [2] и методики [3—5] строятся сначала упругое, а затем упругопластическое автомодельные решения задачи. Основная трудность при этом состоит в отыскании заранее неизвестных линий раздела областей упругого и пластического деформирования материала, на которых ставятся граничные условия для решения квазилинейной системы дифференциальных уравнений в диссилиативных областях. Изучается вопрос о влиянии параметра упрочнения на качественную сторону взаимодействия волн. Основные соотношения исследуются при помощи ЭЦВМ; получены конкретные числовые результаты. Представленные решения являются естественным развитием работ [5—7].

Пусть в недеформированную упругопластическую среду под углом  $0 < 2\alpha < \pi$  (фиг. 1) распространяются со скоростью  $G$  две плоские ударные волны в виде ступеньки  $\Sigma_1$  и  $\Sigma_2$ . В рамках теории малых упругопластических деформаций предполагается, что общая деформация  $e_{ij}$  складывается из упругой  $e_{ij}^e$  и пластической  $e_{ij}^p$  частей и выражается через перемещения  $u_i$  формулами Коши ( $i, j = 1, 2, 3$ ). Оси  $x_1, x_2, x_3$  ортогональны, все искомые величины считаются не зависящими от  $x_3$ . Решение задачи ищется в подвижной системе координат ( $x = x_1 - St$ ,  $y = x_2$ ), связанной с точкой взаимодействия волн ( $S = G(\sin \alpha)^{-1}$ ,  $t$  — время). В дальнейшем появляющиеся упругие и нейтральные области назовем бездиссилиативными в отличие от пластических, в которых происходит диссилиация энергии. В бездиссилиативных областях изменения напряжений и деформаций определяются упругими зависимостями, в то время как в пластических областях следует привлекать условие пластичности и ассоциированный закон пластического течения.

В процессе взаимодействия волн может оказаться, что бездиссилиативная область заполняет все пространство за исходными волнами. В системе координат  $x, y$  поле напряжений, скоростей и деформаций будет тогда стационарным за фронтами этих волн, и решение можно считать автомодельным, т. е. можно положить, что компоненты тензора напряжений  $\sigma_{ij}$ , деформа-



Фиг. 1

ций  $e_{ij}$  и скоростей перемещений  $v_i$  зависят только от  $\xi \equiv \operatorname{ctg} \varphi = xy^{-1}$ , где  $\varphi$  — угол, отсчитываемый от положительного направления оси  $x$  против хода часовой стрелки (так  $\varphi_+ = +\alpha$  для волны  $\Sigma_1$ ,  $\varphi_- = -\alpha$  для волны  $\Sigma_2$  (см. фиг. 1)).

Используя линейный закон Гука, формулы Коши и положив  $u_1 = uy(\xi)$ ,  $u_2 = uv(\xi)$ ,  $u_3 = uw(\xi)$ , получим следующую систему уравнений движения:

$$\begin{aligned} (\lambda + 2\mu + \mu\xi^2 - \rho S^2)u'' - (\lambda + \mu)\xi v'' &= 0, \\ -(\lambda + \mu)\xi u'' + ((\lambda + 2\mu)\xi^2 + \mu - \rho S^2)v'' &= 0, \\ (\mu(1 + \xi^2) - \rho S^2)w'' &= 0, \end{aligned}$$

где  $\rho$  — плотность среды;  $\lambda$ ,  $\mu$  — параметры Ламэ, штрихи означают производные по  $\xi$ .

Решение этой системы всюду тривиально:

$$u = a\xi + b, v = c\xi + d, w = e\xi + f,$$

где определитель отличен от нуля ( $a, b, c, d, e, f$  — константы). Нетривиальное решение системы имеет место при условии

$$(\rho G^2 - \mu)^2(\rho G^2 - (\lambda + 2\mu)) = 0,$$

где  $G$  — новая переменная, определяемая соотношением  $G^2(1 + \xi^2) = S^2$ . Таким образом, в теле могут распространяться как безвихревые, так и сдвиговые ударные волны соответственно со скоростями  $G_1^2 = (\lambda + 2\mu)\rho^{-1}$ ,  $G_2^2 = \mu\rho^{-1}$ .

Рассмотрим случай взаимодействия двух безвихревых ударных волн. В этом случае в пространстве осуществляется состояние плоской деформации ( $u_3 = 0$ ), поэтому из трех уравнений движения останутся только первые два.

1. Построение упругого решения. Определитель системы уравнений движения равен нулю при следующих значениях угла  $\varphi$ :  $\varphi_{1,2}^* = \pm \alpha + l\pi$ , определяющих положение фронтов продольных волн, распространяющихся со скоростью  $G_1$ , и  $\varphi_{3,4}^* = \pm \beta + l\pi = \pm \arcsin(\mu/(\lambda + 2\mu))^{1/2} \times \sin \alpha + l\pi$ , определяющих положение фронтов поперечных волн, распространяющихся со скоростью  $G_2$ . Из условия поставленной задачи следует, что если эти волны существуют, то  $l$  может быть только нечетным целым числом. Для определенности можно положить  $l = 1$ . Положения безвихревых ударных волн  $\Sigma_1$ ,  $\Sigma_2$ ,  $\Sigma_3$ ,  $\Sigma_4$  определяются соотношениями  $\xi_{1,3} = \operatorname{ctg} \alpha$ ,  $\xi_{2,4} = -\operatorname{ctg} \alpha$ , а сдвиговых  $\Sigma_5$ ,  $\Sigma_6$  — соотношениями  $\xi_{5,6} = \operatorname{ctg}(\pi \pm \beta) = \pm \operatorname{ctg} \beta$ . Однако можно строго доказать, что в данной постановке в результате взаимодействия безвихревых ударных волн поверхностей сильного разрыва  $\Sigma_5$ ,  $\Sigma_6$  не образуется.

Действительно, предположим наличие поверхностей  $\Sigma_5$  и  $\Sigma_6$  и найдем напряженно-деформированное состояние среды в окрестности точки взаимодействия волн. В дальнейшем зону между  $\Sigma_1$  и  $\Sigma_4$  будем обозначать цифрой 1,  $\Sigma_2$ ,  $\Sigma_3$  — 2,  $\Sigma_3\Sigma_5$  — 3,  $\Sigma_4\Sigma_6$  — 4,  $\Sigma_5\Sigma_6$  — 5. Пусть интенсивности исходных волн  $\Sigma_1$  и  $\Sigma_2$  равны соответственно  $\gamma_1$  и  $\gamma_2$ . Из условий совместности Адамара для нормальной составляющей скорости перемещений в зонах 1 и 2 имеем  $V_m = -G_1\gamma_m$  ( $m$  означает номер зоны). Тогда  $v_1^{(m)} = V_m \sin \alpha$ ,  $v_2^{(m)} = (-1)^m V_m \cos \alpha$  (здесь и в дальнейшем по  $m$  не суммировать). Используя то, что в подвижной системе координат скорости перемещений выражаются формулами  $v_i = -S u_{i,x}$ , можно получить деформации, а затем по закону Гука и напряжения в этих зонах:

$$(1.1) \quad e_{11}^{(m)} = \gamma_m \sin^2 \alpha, \quad e_{12}^{(m)} = (-1)^m \gamma_m \sin \alpha \cos \alpha, \quad e_{22}^{(m)} = \gamma_m \cos^2 \alpha,$$

$$\begin{aligned}\sigma_{11}^{(m)} &= \gamma_m(\lambda + 2\mu \sin^2 \alpha), \quad \sigma_{22}^{(m)} = \gamma_m(\lambda + 2\mu \cos^2 \alpha), \\ \sigma_{12}^{(m)} &= (-1)^m \gamma_m \mu \sin 2\alpha, \quad \sigma_{33}^{(m)} = \lambda \gamma_m \quad (m = 1, 2).\end{aligned}$$

Полагая  $u_1^{(m)} = a_m x + b_m y$ ,  $u_2^{(m)} = c_m x + d_m y$ , найдем коэффициенты  $a_m = \kappa_m \sin \alpha$ ,  $c_m = \omega_m \sin \alpha$ , где  $\kappa_m = \gamma_m \sin \alpha$ ;  $\omega_m = (-1)^m \gamma_m \cos \alpha$ . Из условия непрерывности перемещений на поверхностях  $\Sigma_1$  и  $\Sigma_2$  получим  $b_m = (-1)^m \kappa_m \cos \alpha$ ,  $d_m = (-1)^m \omega_m \cos \alpha$ . Таким образом, в зонах 1 и 2 перемещения будут известны.

Принимая далее для  $m = 3, 4, 5$  вид зависимости коэффициентов  $a_m$ ,  $b_m$ ,  $\kappa_m$ ,  $\omega_m$  такой же, как для  $m = 1, 2$ , из условия непрерывности перемещений на поверхностях  $\Sigma_3$  и  $\Sigma_4$  получим  $b_3 = (2\kappa_2 - \kappa_3) \cos \alpha$ ,  $d_3 = (2\omega_2 - \omega_3) \cos \alpha$ ,  $b_4 = (\kappa_4 - 2\kappa_1) \cos \alpha$ ,  $d_4 = (\omega_4 - 2\omega_1) \cos \alpha$ . Из условия непрерывности перемещений на  $\Sigma_5$  и  $\Sigma_6$  для коэффициентов  $b_5$ ,  $d_5$  получим по два выражения, приравняв которые, имеем соотношения

$$(1.2) \quad 2\kappa_5 \operatorname{ctg} \beta = (\kappa_3 + \kappa_4) (\operatorname{ctg} \beta - \operatorname{ctg} \alpha) + 2(\kappa_1 + \kappa_2) \operatorname{ctg} \alpha;$$

$$(1.3) \quad 2\omega_5 \operatorname{ctg} \beta = (\omega_3 + \omega_4) (\operatorname{ctg} \beta - \operatorname{ctg} \alpha) + 2(\omega_1 + \omega_2) \operatorname{ctg} \alpha.$$

Известно, что на безвихревых ударных волнах непрерывна касательная составляющая скорости перемещений  $v_\tau$ , а на эквиволюминальных — нормальная  $v_n$ . Это соответствует тому, что на первых из них  $[u_{\tau,n}] = 0$ , а на вторых —  $[u_{n,n}] = 0$ , где квадратными скобками обозначен разрыв данных величин. Если теперь применить эти соотношения к волнам  $\Sigma_3$ ,  $\Sigma_4$ ,  $\Sigma_5$ ,  $\Sigma_6$ , предварительно продифференцировав по нормали выражения  $u_\tau = u_i \tau_i$ ,  $u_n = u_i n_i$ , то после преобразований получим следующие уравнения:

$$(1.4) \quad \begin{aligned}\gamma_2 \sin 2\alpha &= \kappa_3 \cos \alpha + \omega_3 \sin \alpha, \quad \gamma_1 \sin 2\alpha = \kappa_4 \cos \alpha - \\ &\quad - \omega_4 \sin \alpha,\end{aligned}$$

$$(\kappa_3 - \kappa_5) \sin \beta = (\omega_3 - \omega_5) \cos \beta, \quad (\kappa_4 - \kappa_5) \sin \beta = (\omega_5 - \omega_4) \cos \beta,$$

которые вместе с (1.2), (1.3) образуют замкнутую систему линейных алгебраических уравнений относительно  $\kappa_3$ ,  $\kappa_4$ ,  $\kappa_5$ ,  $\omega_3$ ,  $\omega_4$ ,  $\omega_5$  и имеют решение

$$(1.5) \quad \begin{aligned}\kappa_3 = \kappa_4 = \kappa_5 &= (\gamma_1 + \gamma_2) \sin \alpha, \quad \omega_3 = \omega_4 = \omega_5 = \\ &= (\gamma_2 - \gamma_1) \cos \alpha.\end{aligned}$$

Из (1.5), в частности, следует, что решение в зонах 3, 4, 5 одинаково и является простой суперпозицией решений в зонах 1, 2. Это означает отсутствие в пакете волн поверхностей  $\Sigma_5$  и  $\Sigma_6$ . В самом деле, вычисляя компоненты векторов перемещений, тензоров деформаций и напряжений в зонах 3, 4 и 5, имеем ( $m = 3, 4, 5$ )

$$\begin{aligned}(1.6) \quad u_1^{(m)} &= (\gamma_1 + \gamma_2) x \sin^2 \alpha + (\gamma_2 - \gamma_1) y \sin \alpha \cos \alpha, \\ u_2^{(m)} &= (\gamma_2 - \gamma_1) x \sin \alpha \cos \alpha + (\gamma_1 + \gamma_2) y \cos^2 \alpha, \\ e_{11}^{(m)} &= (\gamma_1 + \gamma_2) \sin^2 \alpha; \quad e_{22}^{(m)} = (\gamma_1 + \gamma_2) \cos^2 \alpha, \\ e_{12}^{(m)} &= (\gamma_2 - \gamma_1) \sin \alpha \cos \alpha; \quad \sigma_{33}^{(m)} = \lambda (\gamma_1 + \gamma_2), \\ \sigma_{11}^{(m)} &= (\gamma_1 + \gamma_2)(\lambda + 2\mu \sin^2 \alpha), \quad \sigma_{22}^{(m)} = (\gamma_1 + \gamma_2)(\lambda + 2\mu \cos^2 \alpha), \\ \sigma_{12}^{(m)} &= \mu (\gamma_2 - \gamma_1) \sin 2\alpha.\end{aligned}$$

Из (1.6) видно, что искомые величины не зависят от  $m$ .

Таким образом, полученное упругое решение (1.1), (1.6) завершает доказательство нашего утверждения. В дальнейшем зоны 3, 4, 5 будем обозначать как одну третью зону.

**2. Построение упругопластического решения. Случай идеального упругопластического материала.** При определении этого решения предполагаем, что в теле также осуществляется состояние плоской деформации, а материал пластиически несжимаем. Однако в дальнейшем для сокращения письма иногда будем продолжать пользоваться тензорными обозначениями, имея при этом в виду только не равные нулю величины. Пусть  $\gamma_m$  таковы, что в зонах 1, 2 величина  $I_{(m)}$ , характеризующая интенсивность напряжений, равна  $I_{(m)} = 0,5S_{ij}^{(m)}S_{ij}^{(m)} = z_m^2k^2$  ( $m = 1, 2$ ,  $S_{ij}$  — компоненты девиатора напряжений,  $k$  — предел текучести при чистом сдвиге,  $0 < z_m \leq 1$ ). Тогда в этих зонах справедливо решение, полученное в п. 1. При этом в третьей зоне могут появиться диссиликативные области только в том случае, когда волны  $\Sigma_3$ ,  $\Sigma_4$  становятся нейтральными, а границами этих областей являются поверхности слабого разрыва  $\alpha_1$  и  $\alpha_2$  [4—5] (см. фиг. 1). Кроме этого, должно выполняться неравенство  $I_{(3)} \geq k^2$ , в противном случае справедливо решение (1.6). Подсчитав с помощью (1.1), (1.6) интенсивность напряжений во всех трех зонах, имеем

$$(2.1) I_{(m)} = \frac{4}{3}\mu\gamma_m^2 = z_m^2k^2, \quad I_{(3)} = I_{(1)} + I_{(2)} + (2 - 3\sin^2 2\alpha)\sqrt{I_{(1)}I_{(2)}}.$$

Указанное неравенство теперь приобретает вид

$$(2.2) (z_1 + z_2)^2 - 3z_1z_2\sin^2 2\alpha \geq 1.$$

Пусть (2.2) выполнено. Очевидно, что пластический веер в третьей зоне должен находиться между двумя нейтральными областями этой зоны. Положение волны нагрузки  $\varphi_1 = \pi - \alpha_1$  определяется из соотношения [6]

$$(2.3) c_1 \sin \alpha - G_1 \sin \alpha_1 = 0,$$

где  $c_1$  — скорость ее распространения, подлежащая определению.

Непрерывное решение в областях, деформирующихся пластиически, в переменных  $x_i$ ,  $t$  при условии пластичности Мизеса описывается уравнениями

$$(2.4) \begin{aligned} \dot{\sigma}_{ij} &= \lambda v_{k,k}\delta_{ij} + \mu(v_{i,j} + v_{j,i} - 2\dot{e}_{ij}^p), \\ \sigma_{ij,j} &= \rho \dot{v}_i, \quad \sqrt{2}k \dot{e}_{ij}^p = \dot{\kappa} S_{ij}, \quad S_{ij}\dot{S}_{ij} = 0, \end{aligned}$$

где  $\dot{\kappa} = (\dot{e}_{ij}^p \dot{e}_{ij}^p)^{1/2} > 0$ ; точка означает производную по времени;  $\delta_{ij}$  — символ Кронекера. Записав (2.4) в разрывах и используя то обстоятельство, что на всех поверхностях  $\Sigma_i$  ( $i = 1, 2, 3, 4$ ) пластические деформации непрерывны, из геометрических и кинематических условий совместности первого порядка [2] для скорости волны  $\alpha_1$  можно получить

$$(2.5) 2k^2c_1^2 = A \pm (A^2 - 4k^2G_2^2[(k^2G_1^2 - G_2^2B_0^2) - G_3^2B^2])^{1/2},$$

где  $A = k^2G_0^2 - G_2^2B_0^2$ ;  $G_0^2 = G_1^2 + G_2^2$ ;  $B_0^2 = b_{11}^2 + b_{22}^2$ ;  $G_3^2 = G_1^2 - G_2^2$ ;  $B^2 = (b_{11}v_2 - b_{22}v_1)^2$ ;  $b_{11} = S_{11}^{(3)}v_1 + S_{12}^{(3)}v_2$ ;  $b_{22} = S_{12}^{(3)}v_1 + S_{22}^{(3)}v_2$ ;  $v_1 = \sin \alpha_1$ ;  $v_2 = \cos \alpha_1$ . Как следует из (2.5), скорость слабой волны нагрузки существенно зависит от напряженного состояния среды перед волной, что является следствием нелинейности исходной системы уравнений. Подставляя (2.5) в (2.3), получим уравнение для определения положения волны нагрузки, предварительно определив напряжения перед волной. Для этого воспользуемся соотношениями

$$(2.6) [v_i] n_i^{(m)} = \psi_m; \quad G_1 [\sigma_{ij}] = -\psi_m (\lambda\delta_{ij} + 2\mu n_i^{(m)}n_j^{(m)}) \quad (m = 3, 4),$$

которые должны выполняться на поверхностях  $\Sigma_3$ ,  $\Sigma_4$  (здесь  $\psi_m$  — величины, характеризующие интенсивности этих волн,  $\bar{n}_i$  — составляющие вектора единичной нормали к соответствующей волне). В отличие от упругого решения значения  $\psi_m = -G_1 \gamma_m$  определяются теперь из условия текучести  $I_{(3)} = k^2$ . При этом можно положить, что  $\sigma_{ij}$ ,  $e_{ij}^p$ ,  $v_i$ ,  $\kappa$  зависят только от  $\xi$  (или от  $\varphi = \operatorname{arcctg} \xi$ ). Тогда система уравнений (2.4) переходит в систему обыкновенных дифференциальных уравнений. Тривиальное решение ее соответствует нейтральному напряженному состоянию среды. Поэтому найденные из (2.6) напряжения и скорости перемещений, а также значения  $e_{ij}^{p(2)} = \kappa^{(3)} = 0$  являются граничными условиями для получения нетривиального решения упомянутой системы уравнений. Они ставятся на поверхности  $\varphi_1 = \pi - \alpha_1$  ( $\varphi_2 = \pi + \alpha_2$ ). Переидем к их определению. Из второго соотношения (2.6), записанного на поверхностях  $\Sigma_3$  и  $\Sigma_4$ , и условия пластичности получим соответственно

$$(2.7) \quad \psi_{3,4} = \frac{3}{4} \frac{G_1}{\mu} \left( D_{2,1} \pm \left( D_{2,1}^2 - \frac{4}{3} (z_{2,1}^2 - 1) k^2 \right)^{1/2} \right).$$

Здесь  $D_{1,2} = S_{11}^{(1,2)} \left( \sin^2 \alpha - \frac{1}{3} \right) + S_{22}^{(1,2)} \left( \cos^2 \alpha - \frac{1}{3} \right) + S_{12}^{(1,2)} \sin 2\alpha - \frac{1}{3} S_{33}^{(1,2)}$ , величины напряжений  $S_{ij}^{(1,2)}$  вычисляются из (1.1), где  $\gamma_1$  и  $\gamma_2$  определяются теперь из первого соотношения (2.1). Второй корень (2.7) посторонний, так как, например, при  $z_1 = z_2 = 1$  он обращается в нуль, что ведет к отсутствию поверхностей  $\Sigma_3$ ,  $\Sigma_4$ . Таким образом, соотношения (2.3), (2.5) — (2.7) полностью определяют волну  $\alpha_1$  и граничные условия на ней для исходной системы обыкновенных дифференциальных уравнений. Если построение решения вести, проходя последовательно зоны 1—3—2, то граничные условия принимают вид

$$(2.8) \quad \begin{aligned} \sigma_{ij}^{(3)} &= \sigma_{ij}^{(1)} - \psi_4 G_1^{-1} (\lambda \delta_{ij} + 2\mu n_i^{(4)} n_j^{(4)}), \\ v_i^{(3)} &= v_i^{(1)} + \psi_4 n_i^{(4)}, \quad \kappa^{(3)} = e_{ij}^{p(3)} = 0, \end{aligned}$$

где  $v_i^{(1)}$  вычисляются из упругого решения задачи, а  $\psi_4$  — из (2.7).

Если же построение решения вести, проходя последовательно зоны 2—3—1, то граничные условия принимают вид

$$\sigma_{ij}^{(3)} = \sigma_{ij}^{(2)} - \psi_3 G_1^{-1} (\lambda \delta_{ij} + 2\mu n_i^{(3)} n_j^{(3)}), \quad v_i^{(3)} = v_i^{(2)} + \psi_3 n_i^{(3)}, \quad \kappa^{(3)} = e_{ij}^{p(3)} = 0,$$

где  $v_i^{(2)}$  определяются из упругого решения задачи, а  $\psi_3$  — из (2.7). В дальнейшем для определенности будет реализована первая схема построения решения.

Введем безразмерные величины соотношениями

$$(2.9) \quad \bar{\sigma}_{ij} = \sigma_{ij} k^{-1}, \quad \bar{e}_{ij}^p = \sqrt{2} \mu k^{-1} e_{ij}, \quad \bar{\kappa} = \sqrt{2} \mu k^{-1} \kappa, \\ \bar{v}_i = ((\lambda + 2\mu) \rho k^{-2})^{1/2} v_i,$$

с помощью которых запишем исходную систему уравнений и граничные условия (2.8). Тогда система одиннадцати обыкновенных дифференциальных уравнений с граничными условиями

$$(2.10) \quad \begin{aligned} \bar{\sigma}_{ij}^{(3)} &= \bar{\sigma}_{ij}^{(1)} - \frac{3}{2} \left( \bar{D}_1 + \sqrt{\bar{D}_1^2 - \frac{4}{3} (z_1^2 - 1)} \right) (\nu (1 - 2\nu)^{-1} \delta_{ij} + n_i^{(4)} n_j^{(4)}), \\ \bar{v}_i^{(3)} &= \bar{v}_i^{(1)} + \frac{3}{2} \frac{1 - \nu}{1 - 2\nu} \left( \bar{D}_1 + \sqrt{\bar{D}_1^2 - \frac{4}{3} (\hat{z}_1^2 - 1)} \right), \quad \bar{e}_{ij}^{p(3)} = \bar{\kappa}^{(3)} = 0 \end{aligned}$$

может быть численно решена с помощью одного из известных методов, например методом Рунге—Кутта ( $\nu$  — коэффициент Пуассона). При этом

указанную систему уравнений следует привести к виду, необходимому для применения данного метода. Прежде всего отметим, что неравенство  $\dot{\kappa} > 0$ , которое выражает условие положительности скорости диссипации механической энергии при пластическом деформировании среды, теперь переходит в следующие:  $\dot{\kappa}' > 0$  в верхней полуплоскости ( $y > 0$ ) и  $\dot{\kappa}' < 0$  — в нижней полуплоскости ( $y < 0$ ). Так как система уравнений линейна и однородна относительно производных, то она удовлетворяется следующими значениями:  $\bar{\sigma}'_{ij} = \bar{e}_{ij}^{p'} = \bar{v}'_i = \dot{\kappa}' = 0$ , что противоречит указанным неравенствам. Отсюда следует, что детерминант системы в пластических областях должен обращаться в нуль. В силу этого только десять уравнений системы являются независимыми. Поскольку  $\dot{\kappa}' \neq 0$ , все величины  $\bar{\sigma}'_{ij}$ ,  $\bar{e}_{ij}^{p'}$ ,  $\bar{v}'_i$  могут быть выражены через значение  $\dot{\kappa}'$ , для которого имеется некоторая свобода выбора. За счет этого упомянутая система обыкновенных дифференциальных уравнений будет иметь неединственное решение. Поэтому искомое решение будем рассматривать как предельное для среды с упрочнением, когда параметры упрочнения стремятся к нулю.

**3. Построение упругопластического решения в среде с упрочнением.** Система определяющих уравнений состоит из первых двух соотношений (2.4) и уравнений [6]

$$(3.1) \quad V\bar{2}(k + r\kappa)\dot{e}_{ij}^p = (S_{ij} - qe_{ij}^p)\dot{\kappa}, \quad (S_{ij} - qe_{ij}^p)(\dot{S}_{ij} - q\dot{e}_{ij}^p) = \\ = 2r(k + r\kappa)\dot{\kappa},$$

где  $r > 0$ ,  $q > 0$  — параметры упрочнения материала. Принимается, что имеет место два механизма упрочнения: кинематическое и изотропное. Вид поверхности нагружения определяется умножением самого на себя первого соотношения (3.1), имеем  $(S_{ij} - qe_{ij}^p)(S_{ij} - qe_{ij}^p) = 2(k + r\kappa)^2$ . Второе соотношение (3.1) получено дифференцированием поверхности нагружения по времени. С использованием (2.9) искомая система уравнений по переменной  $\varphi$  принимает вид

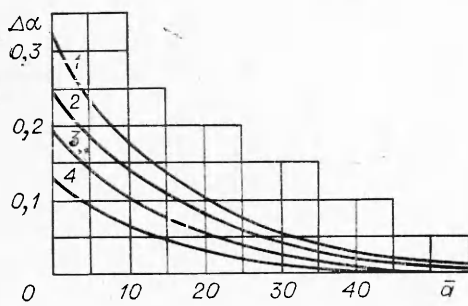
$$(3.2) \quad \begin{aligned} \bar{\sigma}'_{11} + \bar{v}'_1 \sin \alpha - v(1-v)^{-1} \operatorname{ctg} \varphi \cdot \sin \alpha \cdot \bar{v}'_2 + V\bar{2}\bar{e}_{11}^{p'} &= 0, \\ \bar{\sigma}'_{12} + \sin \alpha (1-2v)(2(1-v))^{-1}(\bar{v}'_2 - \operatorname{ctg} \varphi \cdot \bar{v}'_1) + V\bar{2}\bar{e}_{12}^{p'} &= 0, \\ \bar{\sigma}'_{22} + v(1-v)^{-1} \sin \alpha \cdot \bar{v}'_1 - \operatorname{ctg} \varphi \cdot \sin \alpha \cdot \bar{v}'_2 + V\bar{2}\bar{e}_{22}^{p'} &= 0, \\ \bar{\sigma}'_{33} + \sin \alpha \cdot v(1-v)^{-1}(\bar{v}'_1 - \operatorname{ctg} \varphi \cdot \bar{v}'_2) + V\bar{2}\bar{e}_{33}^{p'} &= 0, \\ (\bar{\sigma}'_{11} - \operatorname{ctg} \varphi \cdot \bar{\sigma}'_{12}) \sin \alpha + \bar{v}'_1 &= 0, \quad (\bar{\sigma}'_{12} - \operatorname{ctg} \varphi \cdot \bar{\sigma}'_{22}) \sin \alpha + \bar{v}'_2 = 0, \\ (1 + (\bar{a} - \bar{q})\bar{\kappa})\bar{e}_{11}^{p'} - (\bar{S}_{11} - V\bar{2}\bar{q}\bar{e}_{11}^p)\bar{\kappa}' &= 0, \\ (1 + (\bar{a} - \bar{q})\bar{\kappa})\bar{e}_{12}^{p'} - (\bar{S}_{12} - V\bar{2}\bar{q}\bar{e}_{12}^p)\bar{\kappa}' &= 0, \\ (1 + (\bar{a} - \bar{q})\bar{\kappa})\bar{e}_{22}^{p'} - (\bar{S}_{22} - V\bar{2}\bar{q}\bar{e}_{22}^p)\bar{\kappa}' &= 0, \\ (1 + (\bar{a} - \bar{q})\bar{\kappa})\bar{e}_{33}^{p'} - (\bar{S}_{33} - V\bar{2}\bar{q}\bar{e}_{33}^p)\bar{\kappa}' &= 0, \\ (\bar{S}_{ij} - V\bar{2}\bar{q}\bar{e}_{ij}^{p'}) (\bar{S}'_{ij} - V\bar{2}\bar{q}\bar{e}_{ij}^{p'}) - 2(\bar{a} - \bar{q})(1 + (\bar{a} - \bar{q})\bar{\kappa})\bar{\kappa}' &= 0, \end{aligned}$$

так  $\bar{a} = (q + \sqrt{2r})(2\mu)^{-1} \geq 0$ ;  $\bar{q} = q(2\mu)^{-1}$ . Отметим, что при  $\bar{a} = 0$  система (3.2) определяет напряженно-деформированное состояние среды в пластических областях зоны 3 в случае идеального упругопластического материала.

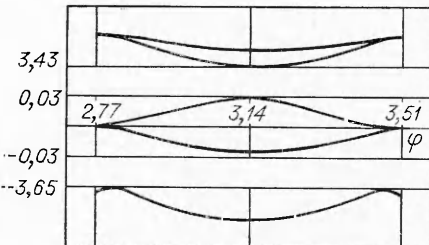
Таким образом, приходим к задаче Коши (2.10), (3.2), которую следует численно решать на ЭЦВМ при определенных значениях  $\bar{a}$ ,  $\bar{q}$ ,  $\alpha$ ,  $v$ ,  $z_1$ ,  $z_2$ . При этом неизвестная граница  $\alpha_1$ , на которой задаются условия (2.10), находится из (2.3) с учетом (2.5), (2.8), (2.9). Однако соотношение (2.5) относилось к случаю идеального упругопластического материала, теперь оно несколько видоизменяется: вместо  $k^2$  следует писать  $k^2(\bar{a} + 1)$ . Знак в (2.5) выбирается с учетом принадлежности  $\alpha_1$  третьей зоне. Может оказаться, что для заданных величин начальных параметров несколько значений  $\alpha_1$  удовлетворяют этому условию. Тогда каждый из корней проверяется в результате численного интегрирования системы уравнений (3.2). При этом начальные параметры должны удовлетворять неравенству (2.2), откуда, в частности, следует, что  $\alpha \leq \pi/4$ . На каждом шаге интегрирования следует проверять условие положительности скорости диссиpации энергии. Интегрирование продолжается до тех пор, пока не будет выполнено первое условие (2.6), записанное в безразмерном виде, где  $m = 3$ . То значение  $\alpha_2$  (слабая волна разгрузки), при котором это условие выполняется, и является искомым, после чего можно найти скорость распространения этой волны из соотношения  $c_2 \sin \alpha = G_1 \sin \alpha_2$ . Заметим, что в данном решении не рассматривается возможность образования пластических ударных волн, на которых  $[e_{ij}^p] \neq 0$ . Отметим также [4, 5], что для подобных задач еще отсутствуют общие теоремы единственности. Поэтому для решения, полученного здесь, единственность может быть показана лишь при тщательном численном исследовании всех возможных решений при различных начальных параметрах:  $\bar{a}$ ,  $\bar{q}$ ,  $\alpha$ ,  $v$ ,  $z_1$ ,  $z_2$ .

Для численного интегрирования системы уравнений (3.2) методом Рунге—Кутта искомые величины  $\bar{\sigma}_{ij}$ ,  $\bar{e}_{ij}^p$ ,  $\bar{v}_i$  были выражены через  $\bar{x}'$ . Поскольку определитель системы (3.2) равен нулю всюду в пластической области, его можно продифференцировать по  $\varphi$  и получить линейное относительно производных выражение, из которого определяются  $\bar{x}' = f(\bar{\sigma}_{ij}, \bar{e}_{ij}^p, \bar{x}, \bar{a}, \bar{q}, v, \alpha, \varphi)$ .

Для различных комбинаций начальных параметров была получена таблица значений  $\alpha_1$ , после чего проводилось интегрирование системы уравнений (3.2) шагом  $\Delta\varphi = 0,01$  для каждого из этих значений. Из анализа результатов численных расчетов, в частности, следует, что раствор пластического веера  $\Delta\alpha = \varphi_2 - \varphi_1$  сужается с увеличением параметра упругчения  $\bar{a}$ , независимо от  $v$ ,  $\alpha$ ,  $z_1$ ,  $z_2$ . В качестве иллюстрации на фиг. 2 показаны зависимости  $\Delta\alpha(a)$  для  $z_1 = z_2 = 0,8$ ,  $v = 0,3$ ,  $\bar{q} = 0$  и для  $\alpha = 0,52; 0,44; 0,35; 0,26$  (углы в радианах, кривые 1—4 соответственно). При этом во всех расчетах в соотношении (2.5) брался знак  $-$ , знак  $+$  дает значения  $\alpha_1 = \alpha$ , что невозможно. В случае идеального упругопла-



Фиг. 2



Фиг. 3

стического материала ( $a = 0$ ) вычисления проводились для значений  $z_1 = z_2 = 1$ ,  $v = 0,25$ ,  $\alpha = \pi/4$ . Границные условия (2.10) при этом имеют следующие значения:  $\bar{\sigma}_{11} = \bar{\sigma}_{22} = 3,46$ ,  $\bar{\sigma}_{12} = \bar{v}_2 = \bar{e}_{12}^p = \bar{x} = 0$ ,  $\bar{\sigma}_{33} = 1,73$ ,  $\bar{v}_1 = -3,675$ ,  $\varphi_1 = 2,77$ . Результаты численных расчетов для некоторых искомых величин, характеризующих изменение напряженно-деформированного состояния среды в пластическом веере третьей зоны, представлены на фиг. 3 (сверху вниз:  $\bar{\sigma}_{22}$ ,  $\bar{\sigma}_{11}$ ,  $\bar{e}_{33}^p$ ,  $\bar{e}_{11}^p$ ,  $v_1$ ). При этом  $\varphi_2 = 3,51$ , т. е., как и ожидалось, пластическая область симметрично расположена по отношению к отрицательной оси  $x$ . В более общем случае ( $z_1 \neq z_2$ ) она может располагаться как угодно по отношению к этой оси.

Поступила 24 XI 1978

#### ЛИТЕРАТУРА

1. Ивлев Д. Д., Быковцев Г. И. Теория упрочняющегося пластического тела.— М., «Наука», 1971.
2. Томас Т. Пластическое течение и разрушение в твердых телах.— М., «Мир», 1964.
3. Чернышов А. Д. Отражение безвихревой ударной волны от жесткой стенки и свободной поверхности упругого полупространства. Задача о движении ступенчатой нагрузки со сверхсейсмической скоростью по границе полупространства.— В кн.: Динамика сплошной среды. Вып. 8. Новосибирск, изд. Ин-та гидродинамики, 1971.
4. Блейх Г. Г., Мэтьюз А. Т. Движение со сверхсейсмической скоростью ступенчатой нагрузки по поверхности упругопластического полупространства.— Сб. пер. Механика, 1968, № 1 (107).
5. Баскаков В. А., Быковцев Г. И. Об отражении плоскополяризованной волны от свободной поверхности в упрочняющейся упругопластической среде.— ПММ, 1971, т. 35, вып. 1.
6. Баскаков В. А. К задаче отражения безвихревых ударных волн от границы упругопластического полупространства.— «Труды ф-та ПММ ВГУ», Воронеж, 1971, вып. 1.
7. Баскаков В. А. Влияние упрочнения на пластическое деформирование материала при взаимодействии ударных волн с границей раздела двух упругопластических полупространств.— В кн.: Методы математической физики в механике структурных сплошных сред. Воронеж, изд. ВГПИ, 1976, т. 189.

УДК 534.222

#### ДИССИПАЦИЯ ЭНЕРГИИ ПРИ ВЗРЫВЕ В ПОРИСТОЙ УПРУГОПЛАСТИЧЕСКОЙ СРЕДЕ

*E. E. Ловецкий, A. M. Масленников, B. C. Фетисов*

(Москва)

Значительная доля энергии взрыва в твердой среде диссирируется в веществе, окружающем заряд. Диссириация энергии взрыва происходит на фронте ударной волны, при пластическом течении вещества за фронтом ударной волны. Часть энергии переходит в энергию остаточных упругих деформаций. Небольшая доля от общей энергии взрыва излучается в виде упругих волн.

Многие реальные горные породы являются пористыми с той или иной степенью газоводонасыщенности. Поэтому вопрос об энергетических потерях при взрыве в пористых насыщенных средах представляет значительный интерес [1].

Теоретическое изучение вопроса о диссириации энергии при взрыве в пористой среде, деформирование которой происходит пластически, проводилось в работах [2, 3]. Рассмотрение, проведенное в этих работах, ограничивается случаем полного захлопывания пустых пор на ударном фронте. Вещество за фронтом ударной волны считалось несжимаемым.